

## 1-16 波のエネルギー損失を考慮した湾水運動の一解法

徳島大学工業短期大学部 正員 村上 仁士

1. 考え方: 従来、防波堤開口部における波のエネルギー損失を考慮した実験理論は確立されていはず。そこで、LeMéhauté が求めた理論に開口部のエネルギー損失の項を加えてエネルギー保存則を導入し、新たに湾水運動の一解法を示し、それを解いて湾水運動特性について若干の考察を行なった。

2. 理論的仮定および記号: 波は純粋な規則波で、それを複素表示して、入射波と反射波の重ね合せができると仮定する。用いた記号は図-1 に示した記号の外、複素数を  $\bar{z}$  (バー) で示し、振幅はその絶対値、位相差は  $\hat{\beta}$  (ハット) で示す。記号  $\alpha$  および  $\beta$  は通過および反射特性である。また記号  $\gamma$  は沿岸の反射率、 $\eta$  は底面摩擦を表す。ただし、 $\eta$  は水深、 $\gamma$  は波長である。

3. 理論的解説: (1) 連続の条件: I から II へ波が進行する場合、開口部の流量の連続性から、 $Z\bar{d}_1 + \bar{B}_1 = \bar{J}$  (1) ただし、 $Z = bL_2/BL$ ,  $\bar{d}_1 = d_1 \exp(i\hat{\alpha}_1)$ .

$\bar{B}_1 = B_1 \exp(i\hat{\beta}_1)$ ,  $\bar{J} = J$  である。同様に II から I へ波が進行する場合の連続式は、  
(1/Z)  $\bar{d}_2 + \bar{B}_2 = \bar{J}$  (2) ただし、 $\bar{d}_2 = d_2 \exp(i\hat{\alpha}_2)$ ,  $\bar{B}_2 = B_2 \exp(i\hat{\beta}_2)$  である。

(2) エネルギー保存則: I から II へ波が進行する場合、II から I へ波が進行する場合に、湖口部を突き出る波のエネルギー通過率をそれぞれ  $\varepsilon_1$  および  $\varepsilon_2$  とすると、エネルギー保存則から、 $B_1^2 + A Z d_1^2 + \varepsilon_1 = 1$  (3)  $B_2^2 + (1/AZ) d_2^2 + \varepsilon_2 = 1$  (4) が求まる。ここで、 $A = A_2/A_1$ ,  $A_i = 1 + 2\pi c_i/h_i / \sinh 2\pi c_i/h_i$  ( $i=1, 2$ ),  $c = 2\pi/L$  である。I および II からそれぞれ反射の量は各波が互いに逆行するときに入射するとき、(3), (4) 式の係数を用いて、次の式が得られる。 $d_1 B_1 = AZ d_2 B_2$  (5)  $d_2 - B_2 = -(d_1 - B_1) + \pi (+2n\pi)$  (6) (1)～(6) 式から、 $B_1, B_2, d_2, \hat{\alpha}_1, \hat{\alpha}_2, \hat{\beta}_1, \hat{\beta}_2$  は  $d_1$  の関数として、それぞれ次式のように求められる。

$$B_1 = \sqrt{1 - AZ d_1^2 - \varepsilon_1} \quad (7) \quad B_2 = \sqrt{\left(\frac{1-\varepsilon_2}{1-\varepsilon_1}\right)(1 - AZ d_1^2 - \varepsilon_1)} \quad (8) \quad d_2 = \sqrt{\left(\frac{1-\varepsilon_2}{1-\varepsilon_1}\right) AZ d_1} \quad (9)$$

$$\cos \hat{\alpha}_1 = \frac{d_1}{Z} (A + Z) + \frac{\varepsilon_1}{2Z d_1} \quad (10) \quad \cos \hat{\alpha}_2 = \frac{1 - \left(\frac{1-\varepsilon_2}{1-\varepsilon_1}\right)(1 - \varepsilon_1) - AZ d_1^2 (A + Z)}{2 \left(\frac{1-\varepsilon_2}{1-\varepsilon_1}\right) AZ d_1} \quad (11)$$

$$\cos \hat{\beta}_1 = \frac{(Z - \varepsilon_1) - Z d_1^2 (A + Z)}{2 \sqrt{1 - AZ d_1^2 - \varepsilon_1}} \quad (12) \quad \cos \hat{\beta}_2 = \frac{1 + \left(\frac{1-\varepsilon_2}{1-\varepsilon_1}\right)(1 - \varepsilon_1) - AZ d_1^2 (A + Z)}{2 \sqrt{\left(\frac{1-\varepsilon_2}{1-\varepsilon_1}\right)(1 - AZ d_1^2 - \varepsilon_1)}} \quad (13)$$

上式で、 $\varepsilon_1 = \varepsilon_2 = 0$  となる場合、LeMéhauté が導出した式と一致する (註:  $\hat{\beta}_2$  については LeMéhauté の論文は漏れていない)。LeMéhauté は  $d_1$  を与える実験式として次式を示し、その妥当性についても論述している。

$d_1 = Z(c/b)^{1/4} (B/b)^{1/4} / \{1 + A(L_2/L_1)\}$  (14) さて、湾奥における波高増幅率  $R$  (入射波高の2倍に対する湾奥の波高) の算定方法については、LeMéhauté の方法と同じであるため、ここでは省略し、結果のみを示すと次通りである。

$$R = \frac{r d_1 (1 + \gamma)}{2 \sqrt{1 + (\beta_2 r^2 p^2) - 2 \beta_2 r^2 p \cos(\beta_2 + 2\pi)}} \quad (15)$$

4. 忽相係性: 急縮および急拡によるエネルギー通過率  $\varepsilon_1$  および  $\varepsilon_2$  をそれぞれ正確に求めて、その特性を調べるべきであるが、以下は急拡に比し、急縮の場合のエネルギー

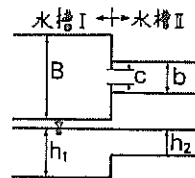


図-1 模型記号

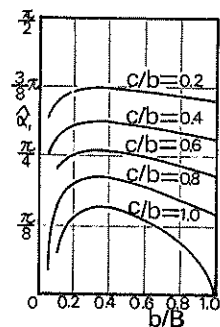


図-2  $\hat{\alpha}_1$  の特性

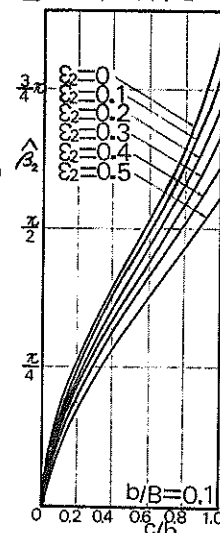


図-3 (1)  $\hat{\alpha}_2$  の特性  
( $b/B = 0.1$  の場合)

透散は小さいという仮定、したがって  $\varepsilon_1 = 0$  および水深は港湾内外で一定という仮定のもとに議論と並んでおこなう。

(1)  $\hat{\beta}_1$  の特性： 図-2は開口比  $b/B = 0.1$  より相対港湾幅  $c/b$  の変化による  $\hat{\beta}_1$  の相変化を示したものである。たとえば防波堤がない場合 ( $c/b = 1$ ) とみておいたまうに、外海幅  $b$  が港湾幅  $c$  の 20~30% の場合が、入射波に対する透過波の位相が最もずれやすい。また開口幅  $C$  を小さくすと位相のずれが大きくなるが、外海幅の位相のずれによる影響は少しくなることがわかる。(2)  $\hat{\beta}_2$  の特性： 図-3(1), (2) は開口比  $b/B = 0.1$  よりエネルギー透散率  $\varepsilon_2$  の変化による  $\hat{\beta}_2$  の位相変化を示したものである。また  $b/B$  が一定の場合、開口幅  $C$  が大きくなるほど湾奥で反射した波が開口部で再反射して湾奥に向う波との位相のずれ度は大きくなる。しかし、もし港内の波が開口部でエネルギー透散される場合、それが大きくなれば、位相のずれは小さくなる。また、両図の比較から、港湾幅  $b$  が大きくなると、位相差は小さくなることがわかる。

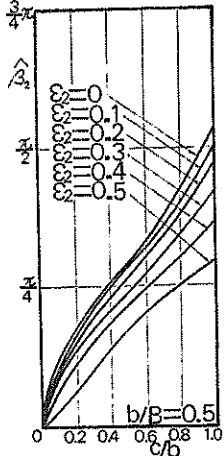


図-3(2)  $\hat{\beta}_2$  の特性  
( $b/B = 0.5$  の場合)

5. 実施特性： 図-4(1), (2) は(15)式で、 $T = 2.0 \text{ sec}$ ,  $A = 15 \text{ cm}$ ,  $P = 1$ ,  $r = 0.95$ ,  $\hat{T} = \frac{2\pi l}{T}$ とした計算結果であり、 $\varepsilon_2 = 0$  の場合が Le Méhauté の理論と一致するもので、実施波浪高  $R_s$ 、横軸に港長とし波番号との比で示している。(1) 図は外海幅に比し港湾幅が小さい場合 ( $b/B = 0.1$ ) で実施波浪高が大きい場合 ( $c/b = 1$ ) である。図から、とかく大きくなると実施波長は短くなり、波高増幅率もしだいに低下する。(2) 図は外海幅が大きくなる ( $b/B = 0.5$ ) 開口幅を小さくした場合 ( $c/b = 0.2$ ) で、両図の比較から、港湾幅が大きくなると波高増幅率は低下し、実施波長もさうへて短くなるが、その程度によると実施波長の変化の程度は少なくてよいことがわかる。図-5(1), (2) は、実施時の波高増幅率  $R_s$  と開口比  $b/B$  の関係を示したもので、(1) 図は外海幅に比し港湾幅が小さい場合 ( $b/B = 0.1$ ) である。とくに  $c/b$  が 0.6 の近傍で極値をもつが、とくに 0 の場合については開口幅をとくにすることによって実施波高は減少し、いわゆる harbor paradox 成立している。一方、(2) 図は外海幅に比し港湾幅が広くなる場合 ( $b/B = 0.5$ ) で、 $\varepsilon_2$  が 0.4 以上となると、前述した通りに傾向にはり harbor paradox は成立しない。また、港湾幅が広くなると実施波高が低下するといふ両図を比較することによってても明らかである。

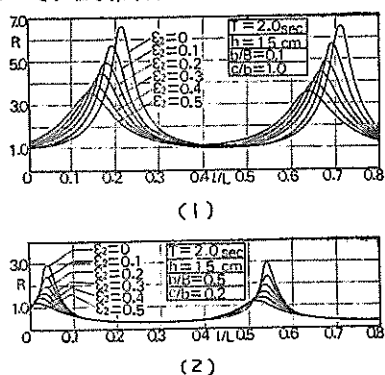


図-4 湾水の振動特性

6. あとがき： 本研究によって、防波堤開口部に生じる波のエネルギー損失が湾水の実施特性に大きく影響を与えることがわかったが、解析を進めるにあたって多くの仮定が含まれており、今後、急峻・急流の場合の波の反射および透通特性さらに、それそれの位相特性を明確にしなければならない。最後に本研究にあたり有益な御助言を賜った、京都大学岩垣雄一教授、鹿島大学三木底敷教授に深謝の意を表すとともに、本研究は文部省科学研究費によく研究の一助であることを付記する。

#### 参考文献

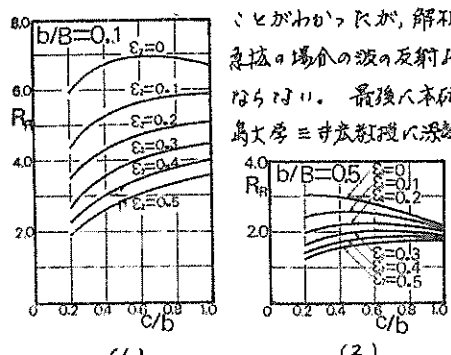


図-5 開口幅およびエネルギー損失の变化による波高増幅率の変化

- 1) Le Méhauté, B.: Periodical gravity wave on a discontinuity, J. Hy. Div., ASCE, pp. 11-41, Nov., 1960
- 2) Le Méhauté, B.: Theory of agitation in a harbor, J. Hy. Div., ASCE, pp. 31-50, March, 1961